

МИНИСТЕРСТВО СЕЛЬСКОГО ХОЗЯЙСТВА РФ
Федеральное государственное бюджетное образовательное учреждение
высшего образования
«КУБАНСКИЙ ГОСУДАРСТВЕННЫЙ АГРАРНЫЙ УНИВЕРСИТЕТ
имени И.Т.Трубилина»

Учебный военный центр

Кафедра ремонта машин и материаловедения

«Надежность механических систем»

ПРАКТИЧЕСКАЯ РАБОТА

**«Исследование износа детали, его вероятностное описание с целью выбора
рационального способа восстановления изношенной поверхности»**

Выполнил курсант

Группы ВЦ1532

Принял, доцент

М.Р. Кадыров

Краснодар 2018

1 Метод определения изменения параметра технического состояния (износа поверхности). Инструмент, приспособления. Полученная опытная информация

2 Математическая обработка опытной информации об изменении параметра технического состояния (износа)

2.1 Вариационный и статистический ряды износа, числовые характеристики распределения износа, проверка опытной информации на наличие выпадающих точек

Таблица 2.1 - Величина износа

Таблица 2.2 - Вариационный ряд информации об износах

Для нашего случая:

$$n = \sqrt{N} \quad (2.1)$$

$n =$ интервалов

Величину одного интервала определяют по уравнению:

$$A = \frac{h_{\max} - h_{\min}}{n}. \quad (2.2)$$

Значение интервала принимаем $A =$

Таблица 2.3 - Статистический ряд распределения износов

Номер интервала	Нижняя граница интервала, мкм	Верхняя граница интервала, мкм	Середина интервала, мкм	Частота	Опытная вероятность (частота)	Накопленная опытная вероятность
i	h_i^H	h_i^B	h_i^C	w_i	$p_i = \frac{w_i}{N}$	$P_i = \sum_{k=1}^{k=i} p_k$
1						
2						
3						
4						
5						
6						

Таблица 2.4 - Расчет числовых характеристик распределения износа

Номер интервала	Середина интервала	Опытная вероятность	Π1	Π2
i	h_i^C	$p_i = \frac{w_i}{N}$	$h_i^C p_i$	$(h_i^C - \bar{h})^2 p_i$
1				
2				
3				
4				
5				
6				
		<i>Сумма</i>		

$$\bar{h} = \sum_{i=1}^n (h_i^C p_i) \quad (2.3)$$

$$\bar{h} =$$

$$\sigma = \sqrt{\frac{N}{N-1} \sum_{i=1}^n [(h_i^C - \bar{h})^2 p_i]} \quad (2.4)$$

$$\sigma =$$

Коэффициент вариации составит:

$$v = \frac{\sigma}{h} \quad (2.5)$$

$$v =$$

Смещение

$$c = \dots \quad (2.6)$$

Проверку информации на наличие выпадающих точек осуществим по формуле

$$\lambda = \frac{h_i - h_{i-1}}{\sigma} \quad (2.7)$$

Для наименьшего значения размера $h_1 = \dots$, $h_2 = \dots$.

$$\lambda_{op} =$$

Для наибольшего значения размера $h_i = \dots$, $h_{i-1} = \dots$.

$$\lambda_{op} =$$

При $N = \dots$ и доверительной вероятности $\alpha = 0,95$ табличное значение критерия Ирвина $\lambda_t = \dots$, то есть больше λ_{op} , значит все точки информации (не)достоверны.

Данные статистического ряда используют для построения графика, наглядно характеризующего опытное распределение величины износа. Гистограмма (рисунок 2.1) и полигон (рисунок 2.2) распределения износа представлены ниже.

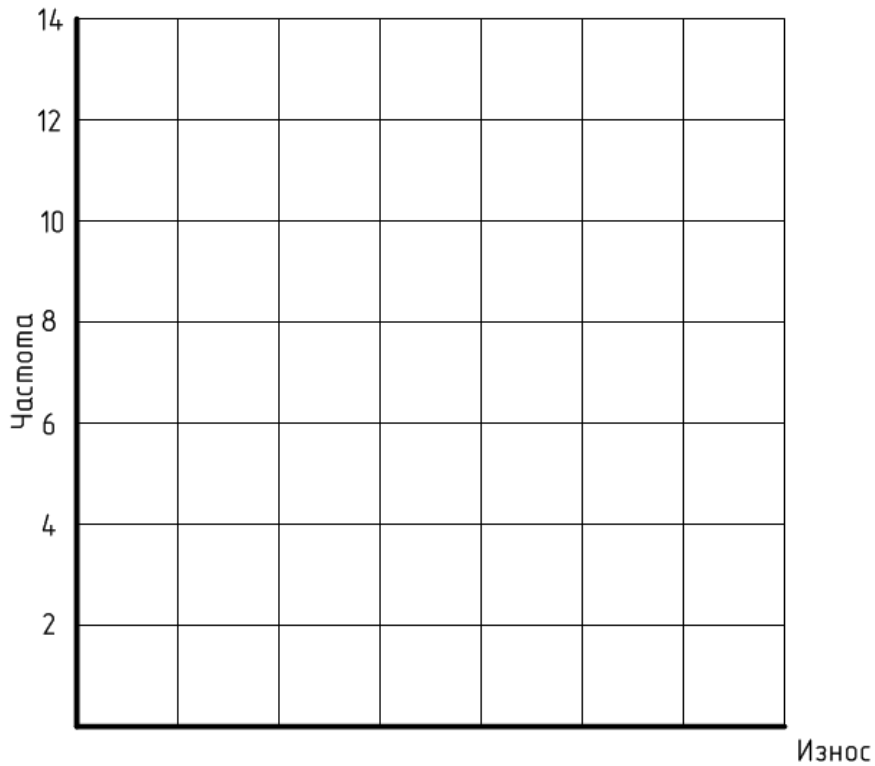


Рисунок 2.1 - Гистограмма распределения износа

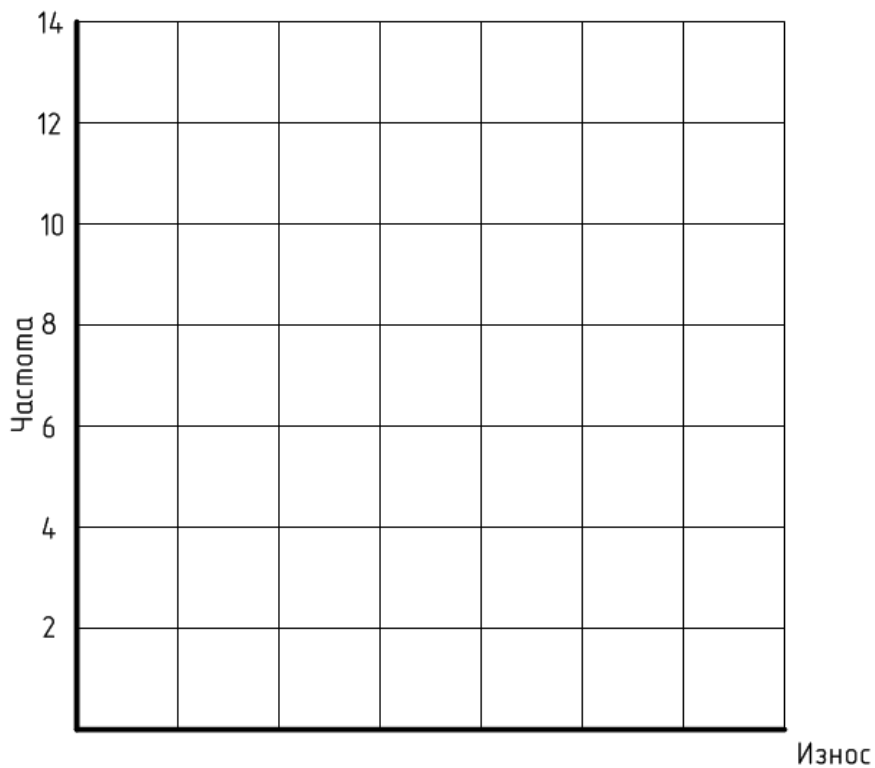


Рисунок 2.2 - Полигон распределения износа

2.2 Выбор теоретического закона распределения износа, нахождение параметров закона распределения, проверка соответствия выбранного закона распределения опытному распределению по критерию Пирсона

Таблица 2.5 - Расчет критерия «хи-квадрат» для ЗНР

<i>i</i>	Номер интервала	Верхняя граница интервала	Табличный аргумент	Интегральная функция	Теоретическая вероятность p^*	Опытная частота	Теоретическая частота	Квадрат разности частот	Отношение
<i>i</i>	h_i^B	$u = \frac{h_i^B - \bar{h}}{\sigma}$	$F(h_i^B)$	$F(h_i^B) - F(h_{i-1}^B)$	w_i	$w_i^* = Np_i^*$	$(w_i - w_i^*)^2$	$\frac{(w_i - w_i^*)^2}{w_i'}$	
1									
2									
3									
4									
5									
6									
									<i>Сумма</i>

Для ЗРВ рассчитываем параметр формы σ , коэффициент K_a и масштабный параметр a .

Для расчёта σ и K_a используем таблицу 2.6.

«Смешённый коэффициент» вариации

$$v_c = \frac{\sigma}{\bar{h} - c}.$$

Таблица 2.6 – Расчет параметра формы σ и коэффициент K_a для ЗРВ

V_c	σ	K_a

Масштабный параметр a .

$$a = (\bar{h} - c)K_a. \quad (2.8)$$

$$a =$$

Таблица 2.7 - Расчет критерия «хи-квадрат» для ЗРВ

Номер интервала	Верхняя граница интервала	Табличный аргумент	Интегральная функция	Теоретическая вероятность p^*	Опытная частота	Теоретическая частота	Квадрат разности частот	Отношение
i	h_i^B	$u = \frac{h_i^B - c}{a}$	$F(h_i^B)$	$F(h_i^B) - F(h_{i-1}^B)$	w_i	$w_i^* = Np_i^*$	$(w_i - w_i^*)^2$	$\frac{(w_i - w_i^*)^2}{w_i'}$
1								
2								
3								
4								
5								
6								
								<i>Сумма</i>

Таблица 2.8 - Исходные данные для интерполяции интегральной функции распределения Вейбулла

u	Параметр ν		
		█	
u	Параметр ν		
		█	
u	Параметр ν		
		█	
u	Параметр ν		
		█	

Таблица 2.9 - Табличные критерии χ^2 и соответствующие им табличные уровни значимости P для ЗНР

Число степеней свободы k	Уровень значимости P	

Таким образом, уровень значимости для ЗНР износа составляет _____.

Таблица 2.10 - Табличные критерии χ^2 и соответствующие им табличные уровни значимости P для ЗРВ

Число степеней свободы k	Уровень значимости P	

Таким образом, уровень значимости для ЗРВ износа составляет _____.

Уровень значимости для _____ ниже уровня значимости для _____.

Поэтому в качестве закона распределения для износа принимаем _____ с параметрами:

$$m = \bar{h} = \quad \text{и} \quad \sigma =$$

или

$$a = \quad b = \quad \text{и} \quad c =$$

2.3 Определение доверительных границ рассеивания и относительной ошибки среднего значения износа

В нашем случае $\bar{h} =$ мкм, $a =$ мкм, $N =$. Тогда, задавшись доверительной вероятностью $\alpha =$, при $N =$ находим t_α или r_1 и r_3 .

Доверительные границы составляют:

а) для ЗНР

Таблица 2.11 – Определение коэффициента Стьюдента t_α

N	t_α

Нижняя доверительная граница рассеивания среднего значения износа

$$\bar{h}_\alpha^H = \bar{h} - t_\alpha \frac{\sigma}{\sqrt{N}}. \quad (2.9)$$

$$\bar{h}_\alpha^H =$$

Верхняя доверительная граница рассеивания среднего значения износа

$$\bar{h}_\alpha^B = \bar{h} + t_\alpha \frac{\sigma}{\sqrt{N}}. \quad (2.10)$$

$$\bar{h}_\alpha^B =$$

Доверительный интервал

$$I_\alpha = h_\alpha^B - h_\alpha^H \quad (2.11)$$

$$I_\alpha =$$

б) для ЗРВ

Таблица 2.12 – Определение коэффициентов ЗРВ r_1 и r_3 и коэффициента Стьюдента t_α

N	r_1	r_3	t_α

Нижняя доверительная граница рассеивания среднего значения износа

$$\bar{h}_\alpha^H = (\bar{h} - c) \sqrt[3]{r_3} + c. \quad (2.12)$$

$$\bar{h}_\alpha^H =$$

Верхняя доверительная граница рассеивания среднего значения износа

$$\bar{h}_\alpha^B = (\bar{h} - c) \sqrt[3]{r_1} + c. \quad (2.13)$$

$$\bar{h}_\alpha^B =$$

Доверительный интервал (2.11)

$$I_\alpha =$$

Определение относительной ошибки среднего значения износа и оценка требуемого объема выборки

$$\varepsilon_\alpha = \frac{\bar{h}_\alpha^B - \bar{h}}{\bar{h}} \cdot 100. \quad (2.14)$$

$$\varepsilon_\alpha =$$

При заданной относительной ошибки среднего значения износа $\varepsilon = \underline{\hspace{2cm}}\%$ требуемый объем выборки

$$N = \frac{t_\alpha^2 v^2}{\varepsilon^2}. \quad (2.15)$$

$$N =$$

2.4 Построение графиков дифференциальной и интегральной функций

a) для ЗНР

Таблица 2.13 - Расчет значений функции плотности вероятности распределения износа

Номер интервала	Середина интервала	Табличный аргумент	Плотность вероятности стандартного распределения	Плотность вероятности исследуемого параметра	Опытная вероятность	Опытная плотность вероятности
i	h_i^c	$u_i = \frac{h_i^c - \bar{h}}{\sigma}$	$f(u)$	$f(h) = \frac{f(u)}{\sigma}$	p_i	$f_i = \frac{p_i}{A}$
1						
2						
3						
4						
5						
6						

Используя данные таблицы 2.13, построим дифференциальную функцию ЗНР.

Для построения графика интегральной функции распределения износов составляем расчетную таблицу 2.14.

Таблица 2.14 - Расчет значений интегральной функции распределения износов

Номер интервала	Верхняя граница интервала	Табличный аргумент	Теоретическая вероятность	Накопленная опытная вероятность
i	h_i^B	$u_i = \frac{h_i^B - \bar{h}}{\sigma}$	$F(h) = F(u)$	$P_i = \sum_{k=1}^{k=i} p_k$
1				
2				
3				
4				
5				
6				

б) для ЗРВ

Таблица 2.15 - Расчет значений функции плотности вероятности распределения износа

Номер интервала	Середина интервала	Табличный аргумент	Плотность вероятности стандартного распределения	Плотность вероятности исследуемого параметра	Опытная вероятность	Опытная плотность вероятности
i	h_i^c	$u_i = \frac{h_i^c - c}{a}$	$f(u)$	$f(h) = \frac{f(u)}{a}$	p_i	$f_i = \frac{p_i}{A}$
1						
2						
3						
4						
5						
6						

Используя данные таблицы 2.15, построим дифференциальную функцию ЗРВ.

Для построения графика интегральной функции распределения износов составляем расчетную таблицу 2.16.

Таблица 2.16 - Расчет значений интегральной функции распределения износов

Номер интервала	Верхняя граница интервала	Табличный аргумент	Теоретическая вероятность	Накопленная опытная вероятность
i	h_i^B	$u_i = \frac{h_i^B - c}{a}$	$F(h) = F(u)$	$P_i = \sum_{k=1}^{k=i} p_k$
1				
2				
3				
4				
5				
6				

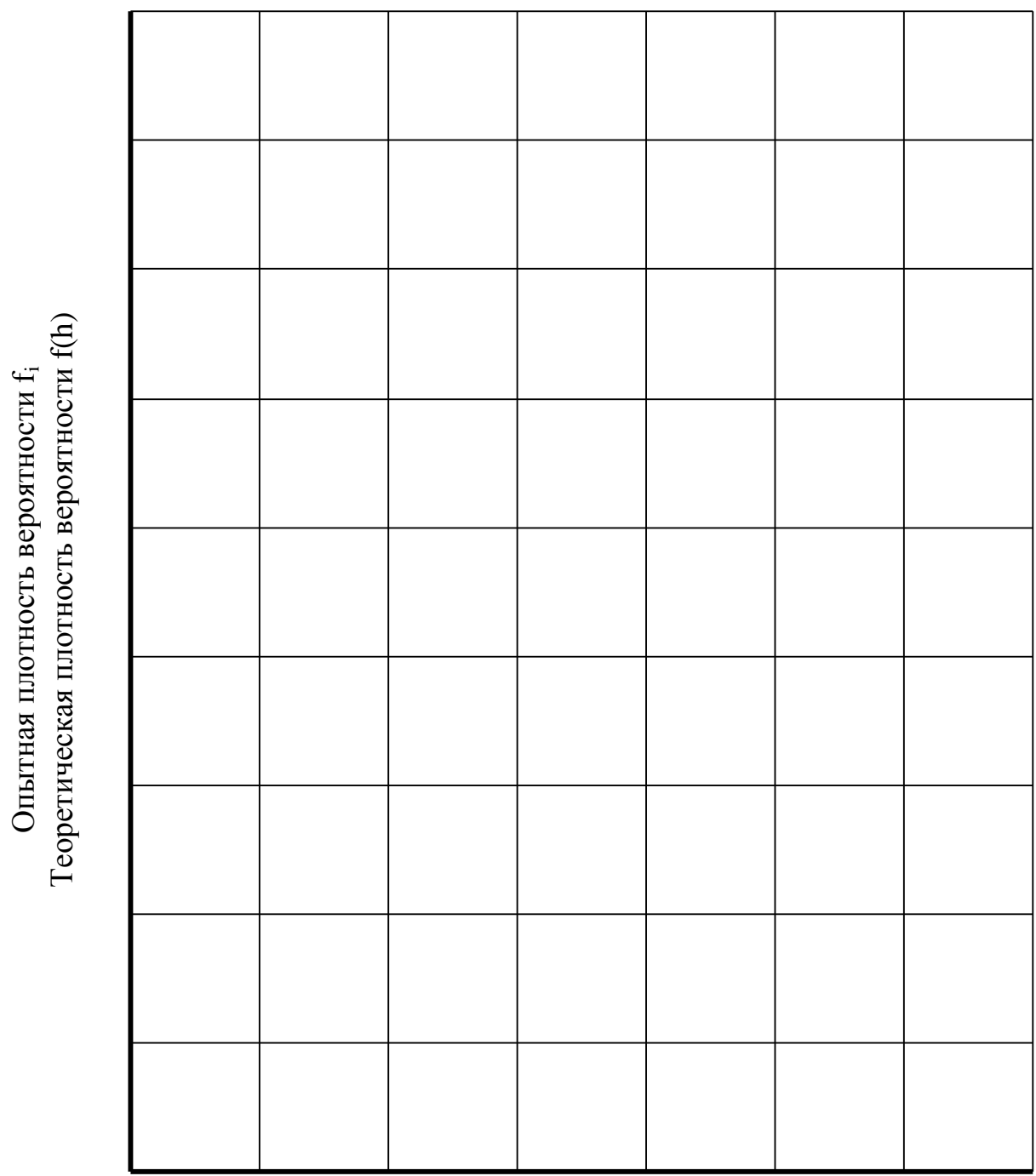


Рисунок 2.3 - Теоретическая и опытная плотность распределения износа

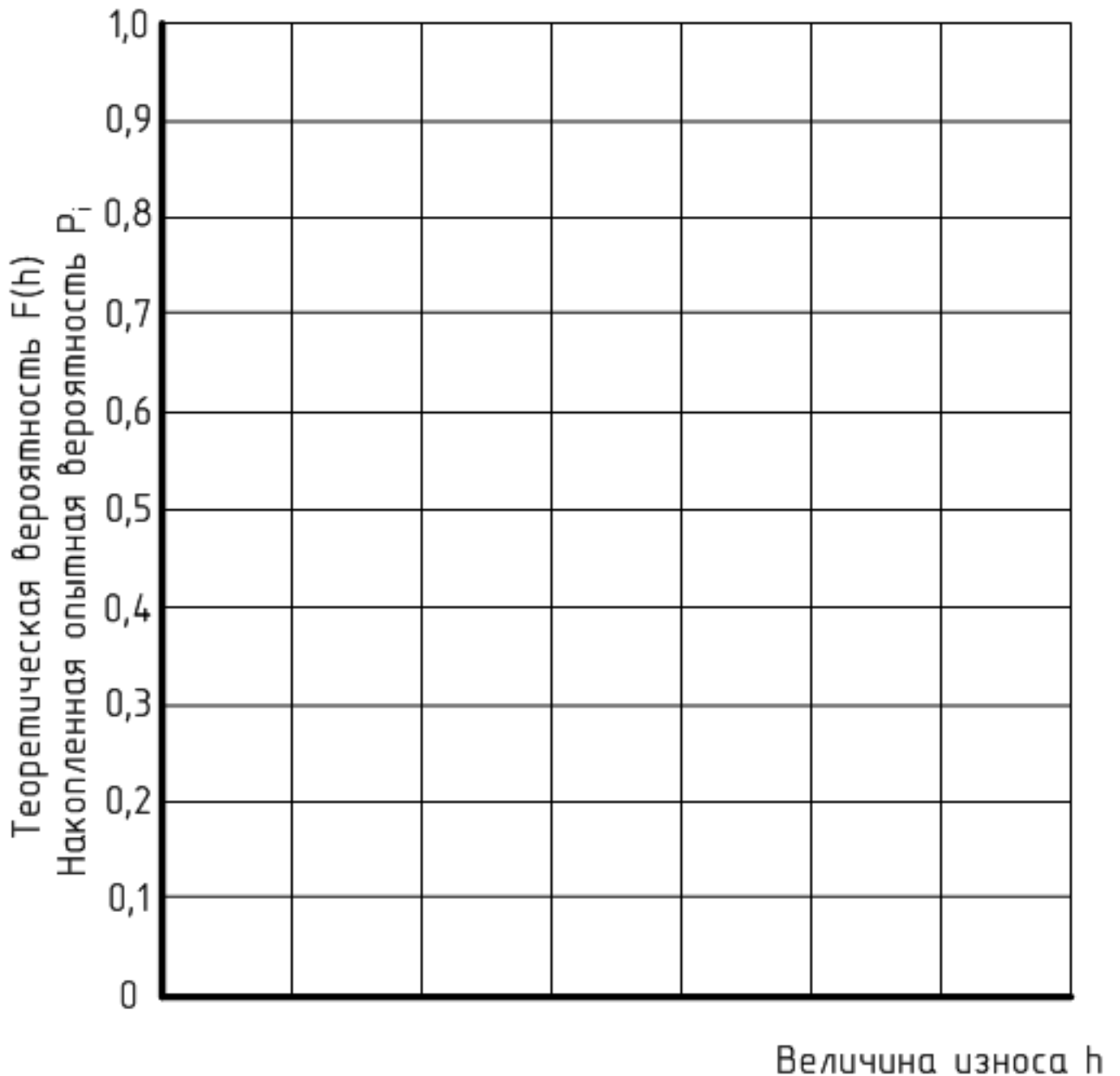


Рисунок 2.4 - Интегральная функция $[F(h)]$ и накопленная опытная вероятность P_i распределения износа

2.5 Определение максимально возможного износа

а) для ЗНР

$$h_{\max} = K(p) =$$

б) для ЗРВ

$$h_{\max} = K(p) =$$

ЗАКЛЮЧЕНИЕ

1 Проверка соответствия опытного распределения с теоретическими, в качестве которых были взяты закон нормального распределения и закон распределения Вейбулла, показала, что лучшее согласие с опытным распределением обнаружил закон нормального распределения с параметрами:

среднее значение $h =$ мкм,

среднее квадратичное отклонение $\sigma =$ мкм,

коэффициент вариации $v =$

или

1 Проверка соответствия опытного распределения с теоретическими, в качестве которых были взяты закон нормального распределения и закон распределения Вейбулла, показала, что лучшее согласие с опытным распределением обнаружил закон распределения Вейбулла с числовыми характеристиками:

параметр $a =$

параметр $b =$

параметр $c =$

2 Представленная графически интегральная функция распределения (рисунок 2.4) даёт конкретную количественную информацию для выбора технологии восстановления изношенной поверхности детали и расчета режимов обработки.

Воспользовавшись графиком интегральной функции, решают прямую задачу, а именно, с какой вероятностью $[F(h_2) - F(h_1)]$ проявляется тот или иной интервал износа $(h_1 \dots h_2)$ поверхности деталей.

Эту задачу можно сформулировать по-другому. Какова доля деталей $[F(h_2) - F(h_1)]$, которые будут иметь износы данной поверхности в заданном интервале $(h_1 \dots h_2)$?

Воспользовавшись графиком интегральной функции, решают также обратную задачу, а именно, какой интервал износа $(h_1 \dots h_2)$ поверхности деталей проявится с заданной вероятностью $[F(h_2) - F(h_1)]$.

Эту задачу можно сформулировать по-другому. В каком интервале $(h_1 \dots h_2)$ износов будет находиться заданная доля деталей $[F(h_2) - F(h_1)]$?

Таким образом, выполненное исследование износов названной поверхности детали и математическая обработка опытной информации явились необходимым этапом, предшествующим разработке технологического процесса восстановления.